



УДК 577.113.4 (+.7):577.152.31*264'14

РАСЩЕПЛЕНИЕ РНК В СОСТАВЕ ГИБРИДНЫХ ДУПЛЕКСОВ РИБОНУКЛЕАЗОЙ Н E. coli П. СУБСТРАТНЫЕ СВОЙСТВА ОЛИГОНУКЛЕОТИДОВ, СОДЕРЖАЩИХ НЕНУКЛЕОТИДНЫЕ ВСТАВКИ

© 2000 г. П. Е. Воробьев[#], И. А. Пышная, Д. В. Пышный, М. Н. Репкова, А. Г. Веньяминова,
М. А. Зенкова, Е. М. Иванова, К. Скалфи-Хапп*, Х. Зелигер*, Ж. Бонора**, В. Ф. Зарытова

Новосибирский институт биоорганической химии СО РАН, Новосибирск,
630090, просп. Акад. Лаврентьева, 8;

* Университет г. Ульма, Отделение полимеров, Ульм, Германия;

** Университет г. Триеста, Отделение химии, Триест, Италия

Поступила в редакцию 18.04.2000 г. Принята к печати 16.06.2000 г.

Исследованы свойства 20-звенных “мостиковых” олигодезоксирибонуклеотидов, в которых фрагменты коротких олигомеров соединены гексаметилендиоловыми и гексаэтиленгликоловыми вставками. Показано, что такие олигонуклеотиды способны образовывать с ДНК и РНК комплементарные комплексы, термостабильность которых зависит от длины и числа ненуклеотидных вставок. Гибридные комплексы “мостиковых” олигонуклеотидов являются субстратами рибонуклеазы Н E. coli. При введении в 20-мер от одной до трех ненуклеотидных вставок эффективность гидролиза РНК в соответствующих гибридных комплексах снижается всего в 1.2–1.4 раза. Наиболее существенное влияние ненуклеотидные вставки оказывают на состав продуктов гидролиза РНК. Выявлено, что в составе гибридных дуплексов с “мостиковыми” олигонуклеотидами РНКаза Н одновременно гидролизует РНК 3'-конца дуплексных участков, формируемых каждым олигонуклеотидным фрагментом “мостикового” олигонуклеотида. Наличие на 3'-конце олигодезоксирибонуклеотида инвертированной 3'-3'-фосфодиэфирной связи не оказывает существенного влияния на эффективность действия РНКазы Н.

Ключевые слова: антисмыловые олигонуклеотиды; “мостиковые” олигодезоксирибонуклеотиды, ненуклеотидные вставки; рибонуклеаза Н; комплементарные комплексы, термостабильность.

ВВЕДЕНИЕ

Одним из основных механизмов подавления экспрессии генов с помощью антисмыловых олигонуклеотидов считается расщепление РНК в составе гибридных РНК/ДНК-дуплексов рибонуклеазами Н [2]. Это обуславливает необходимость исследования таких антисенс-олигонуклеотидов на их способность стимулировать гидролиз комплементарной РНК РНКазой Н.

“Мостиковые” олигонуклеотиды, содержащие олигометилендиоловые и олигоэтиленгликоловые [3–7], олигоаргининовые [8, 9], дидезоксирибозные [10, 11] и другие вставки [12, 13], были предложены ранее как инструменты исследования взаимодействий в коротких олигонуклеотидных дуплексах и триплексах, а также как потен-

циальные ген-направленные соединения. Однако способность гибридных комплексов, образованных с участием мостиковых олигодезоксирибонуклеотидов, активировать действие РНКазы Н систематически не изучалась, и лишь несколько работ свидетельствуют о наличии у них субстратных свойств [4, 5, 9].

В данной работе исследовано влияние гексаметилендиоловых и гексаэтиленгликоловых вставок на гибридизационные свойства “мостиковых” олигонуклеотидов и на процесс гидролиза РНК в гибридных комплексах “мостиковых” олигонуклеотидов под действием РНКазы Н.

РЕЗУЛЬТАТЫ И ОБСУЖДЕНИЕ

Влияние модификации межнуклеотидных фосфодиэфирных связей в “мостиковых” олигодезоксирибонуклеотидах на способность последних активировать рибонуклеазу Н было исследовано на примере расщепления 20-звенного олигорибонуклеотида (rM) [1] в комплексах с нативным олигодезоксирибонуклеотидом и с олигодезокси-

Сообщение I см. [1].

Сокращения: НК – нуклеиновые кислоты, НЕPES – 4-(2-гидроксиэтил)-1-пиперазинэтансульфоновая кислота. Префикс “d” в аббревиатуре олигодезоксирибонуклеотидов опущен.

[#] Автор для переписки (e-mail: vorobyev@niboch.nsc.ru; тел.: (3832) 39-62-75).

$\text{r}^{32}\text{pUGCCUGGAGCUCUUGAUGC}^3'$	rM
ACGGACCTCGACGAAC TACGp	pN_{20}
$\text{A}^{3'3'}\text{CGGACCTCGACGAAC TACG}$	$\text{N}_{20}^{\text{inv}}$
$\text{ACGGACCTCGACGAAC TACG}$	$\text{N}_{10}^{\wedge\wedge}\text{N}_{10}$
$\text{A}^{3'3'}\text{CGGACCTCGACGAAC TACG}$	$\text{N}_{10}^{\wedge\wedge}\text{N}_{10}^{\text{inv}}$
$\text{ACGGACCTCGACGAAC TACGp}$	$\text{pN}_8^{\wedge}\text{N}_4^{\wedge}\text{N}_8$
$\text{ACGGACCTCGACGAAC TACG}$	$\text{N}_8^{\wedge\wedge}\text{N}_4^{\wedge\wedge}\text{N}_8$ $\text{N}_8^{\wedge\wedge\wedge}\text{N}_4^{\wedge\wedge\wedge}\text{N}_8$
$\text{A}^{3'3'}\text{CGGACCTCGACGAAC TACG}$	$\text{N}_8^{\wedge\wedge}\text{N}_4^{\wedge\wedge}\text{N}_8^{\text{inv}}$
$\text{ACGGACC}^{\wedge}\text{CGAC}^{\wedge}\text{AACTACG}$	$\text{N}_7^{\wedge\wedge}\text{N}_4^{\wedge\wedge}\text{N}_7$
$\text{ACGGACCTCGACGAAC TACG}$	$\text{N}_5^{\wedge\wedge}\text{N}_5^{\wedge\wedge}\text{N}_5^{\wedge\wedge}\text{N}_5$

* – место введения
ненуклеотидной вставки.

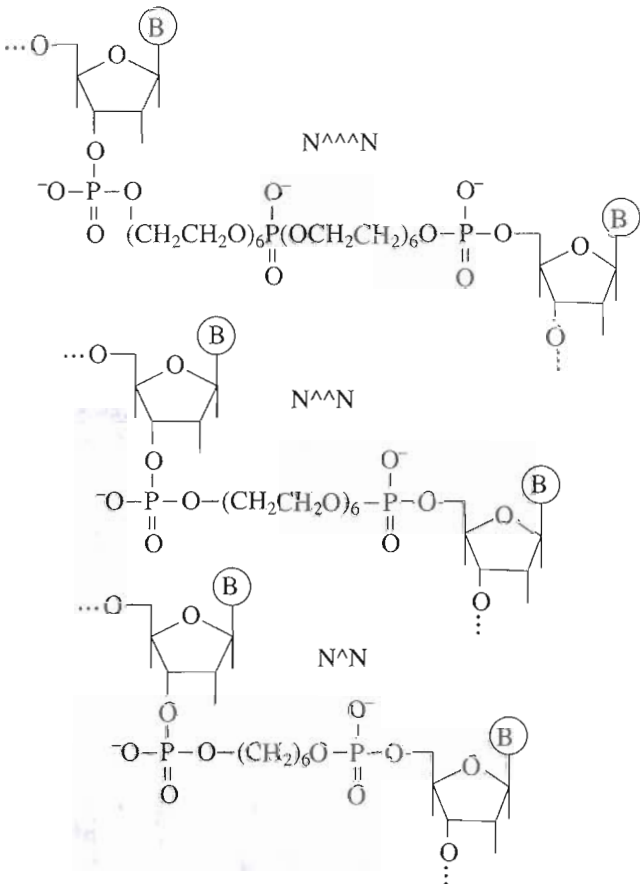


Схема. Структура всех олигонуклеотидов (кроме rM) дана в направлении от 3'- к 5'-концу. В отмеченных случаях на 3'-конце олигонуклеотида введена 3'-3'-межнуклеотидная связь.

рибонуклеотидами, содержащими ненуклеотидные вставки (гексаметилендиоловые и гексаэтиленгликоловые), а также инвертированную межнуклеотидную связь на 3'-конце. Влияние числа ненуклеотидных вставок в олигонуклеотиде было рассмотрено на примере 20-звенных олигонуклеотидов, состоящих из различных олигонуклеотидных фрагментов, соединенных гексаэтиленгликоловыми мостиками ($\text{N}_{10}^{\wedge\wedge}\text{N}_{10}$, $\text{N}_8^{\wedge\wedge}\text{N}_4^{\wedge\wedge}\text{N}_8$, $\text{N}_5^{\wedge\wedge}\text{N}_5^{\wedge\wedge}\text{N}_5^{\wedge\wedge}\text{N}_5$), а влияние длины ненуклеотидной вставки – на примере олигомеров, состоящих из трех фрагментов (окта-, тетра- и октамеров), соединенных гексаметилендиоловыми, гексаэтиленгликоловыми мостиками, а также ди(гексаэтиленгликоль)fosфатными группами ($\text{pN}_8^{\wedge}\text{N}_4^{\wedge}\text{N}_8$, $\text{N}_8^{\wedge\wedge}\text{N}_4^{\wedge\wedge}\text{N}_8$ и $\text{N}_8^{\wedge\wedge\wedge}\text{N}_4^{\wedge\wedge\wedge}\text{N}_8$, соответственно) (см. схему).

Эффективность расщепления РНК под действием РНКазы H в гибридных дуплексах зависит от ряда факторов, в том числе от термостабильности комплекса РНК-мишень · олигодезоксирибонуклеотид. Поэтому первоначально было исследовано влияние ненуклеотидных вставок на

комплексообразующую способность “мостиковых” олигонуклеотидов.

Как видно из рис. 1, первая производная кривой плавления комплекса РНК-мишени с 20-звенным немодифицированным олигомером pN_{20} имеет два температурных максимума (кривая 1), что свидетельствует об образовании, по крайней мере, двух достаточно прочных форм комплекса с T_{\max} 66 и 75°C. Введение в олигонуклеотид двух гексаметилендиоловых мостиков приводит к падению температуры плавления его комплекса до 54°C (кривая 2). Дифференциальная кривая плавления комплекса $\text{rM} \cdot \text{pN}_8^{\wedge}\text{N}_4^{\wedge}\text{N}_8$ имеет пологий вид с нечетко выраженным максимумом. Следует отметить, что кривые денатурации гибридных комплексов полностью совпадают с кривыми денатурации. Это свидетельствует о целостности молекул РНК в условиях плавления. В отличие от гибридных, комплексы, сформированные олигодезоксирибонуклеотидами $\text{dM} \cdot \text{pN}_{20}$ и $\text{dM} \cdot \text{pN}_8^{\wedge}\text{N}_4^{\wedge}\text{N}_8$ (dM – ДНК-мишень со структурой как у rM), имеют дифференциальные кривые плавления с четко выраженным максимумом и температурой плавления ниже соответствующих

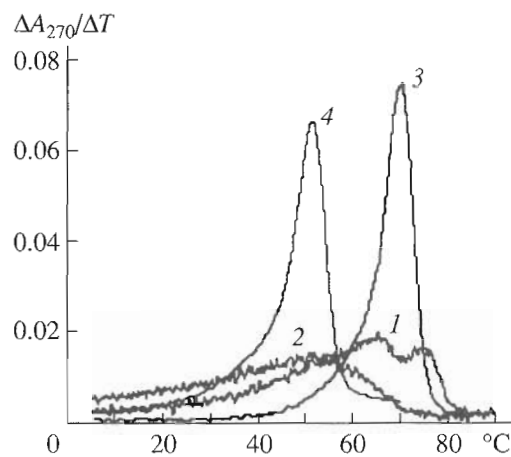


Рис. 1. Дифференциальные кривые плавления комплексов олигорибонуклеотида rM и его dM -аналога с нативным и “мостиковым” олигодезоксирибонуклеотидами: $rM \cdot pN_{20}$ (1), $rM \cdot pN_8^-N_4^-N_8^-$ (2), $dM \cdot pN_{20}$ (3), $dM \cdot pN_8^-N_4^-N_8^-$ (4). Условия плавления см. в “Эксперимент. части”.

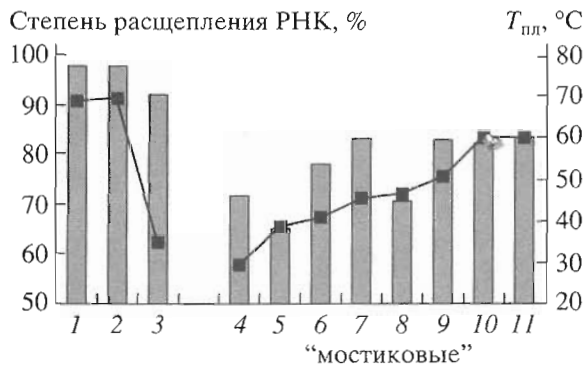


Рис. 2. Температура плавления комплексов (■) олигонуклеотидов с dM -матрицей dM и степень расщепления РНК-мишени rM (10^{-7} М) в гибридных комплексах с этими олигонуклеотидами (2×10^{-6} М) под действием РНКазы Н через 1 ч реакции (столбики): pN_{20} (1); pN_{20}^{inv} (2); $pN_8 + pN_4 + pN_8$ (3); $N_5^-N_5^-N_5^-N_5^-$ (4); $N_7^-N_4^-N_7^-$ (5); $N_8^-N_4^-N_8^-$ (6); $N_8^-N_4^-N_8^-$ (7); $N_8^-N_4^-N_8^{\text{inv}}$ (8); $pN_8^-N_4^-N_8^-$ (9); $N_{10}^-N_{10}^-$ (10); $N_{10}^-N_{10}^{\text{inv}}$ (11). Условия плавления и гидролиза см. в “Эксперимент. части”.

гибридных комплексов на 6 и 3°C (рис. 1, кривые 3, 4).

Гиперхромный эффект при плавлении РНК-ДНК- и ДНК-ДНК-дуплексов, рассчитанный из интегральных кривых плавления как величина прироста общего оптического поглощения исследуемого образца в интервале температур от 5 до 80°C, практически совпадает (33 и 29% соответственно). Резко отличается лишь высота дифференциальных кривых, что является отражением

кооперативности процесса плавления. В случае ДНК-ДНК-дуплексов плавление протекает высококооперативно, в то время как кривая денатурации РНК-ДНК-дуплекса является характерной для реализации нескольких структурных переходов. Поэтому влияние ненуклеотидных мостиков на гибридизационную способность олигонуклеотидов исследовали далее, используя в качестве мишени 20-звенный олигодезоксирибонуклеотид dM , последовательность которого идентична последовательности РНК-мишени rM .

Увеличение длины мостика, т.е. замена гексаметилендиолового мостика на гексаэтиленгликоловый ($N_8^-N_4^-N_8^-$) или фосфодиэфир гексаэтиленгликоля ($N_8^-N_4^-N_8^-$), приводит к еще большей потере стабильности комплекса (рис. 2 кривые 7, 6, ср. рис. 1, кривая 4). Еще меньшей стабильностью обладает комплекс олигонуклеотида $N_7^-N_4^-N_7^-$, в котором мостики заменяют пропущенные нуклеотиды, flankирующие центральный тетramer, т.е. соединяют с тетрануклеотидом гептануклеотидные фрагменты (рис. 2, 5). Следует отметить, что стабильность комплексов “мостиковых” олигомеров, содержащих тетра- и октануклеотидные фрагменты, меньшая по сравнению с комплексом природного 20-звенного олигомера (рис. 2, 1), превышает термостабильность комплекса, образованного tandemом этих коротких олигонуклеотидных фрагментов, не соединенных мостиками (рис. 2, 3). (Дифференциальная кривая плавления комплекса $dM \cdot N_8^- + N_4^- + N_8^-$ имеет два максимума – при 35 и 24°C [14].)

Как видно из данных, приведенных на рис. 2, стабильность комплекса “мостикового” олигонуклеотида существенно зависит от длины его нуклеотидных фрагментов. Из всех рассматриваемых модифицированных 20-меров комплекс с РНК максимальной стабильности образует олигонуклеотид, содержащий два декануклеотидных фрагмента, $dM \cdot N_{10}^-N_{10}^-$ (рис. 2, 10), а минимальной – олигомер, составленный из четырех пентануклеотидов, $dM \cdot N_5^-N_5^-N_5^-N_5^-$ (рис. 2, 4). Полученные данные о термической устойчивости ДНК/ДНК-комплексов “мостиковых” олигонуклеотидов позволяют предположить, что все рассматриваемые олигонуклеотиды, за исключением $N_5^-N_5^-N_5^-N_5^-$, могут полностью связываться с РНК-мишенью в достаточно широком интервале концентраций при 20°C.

Влияние концентрации “мостиковых” олигонуклеотидов на их способность активировать гидролиз РНК в составе гибридных комплексов под действием РНКазы Н определяли, сравнивая предельную степень расщепления ^{32}P -меченой РНК-мишени rM (1×10^{-7} М) в присутствии исследуемого олигонуклеотида в концентрации от 1×10^{-7} до 2×10^{-6} М при 20°C. Поскольку в гибридном комплексе $rM \cdot pN_{20}$ расщепление РНК про-

текает с 3'-конца [1], детекцию продуктов гидролиза проводили после гель-электрофореза в денатурирующем ПААГ по распределению ^{32}P -метки, введенной на 5'-конец РНК-мишени, что позволяет регистрировать 5'-концевые продукты деградации РНК. Как видно из рис. 3а, эффективность гидролиза РНК возрастает с увеличением используемых избытков олигонуклеотида (γ) над концентрацией РНК только в случае олигомера $\text{N}_5^{\wedge\wedge}\text{N}_5^{\wedge\wedge}\text{N}_5^{\wedge\wedge}\text{N}_5$, обладающего минимальными гибридизационными свойствами (кривая 5). При использовании комплексов остальных исследуемых олигонуклеотидов как нативных, так и содержащих ненуклеотидные вставки, в том числе и с инвертированной межнуклеотидной связью на 3'-конце, степень расщепления РНК практически не зависит от концентрации олигодезоксирибонуклеотида в интервале 10^{-7} – 2×10^{-6} М (например, рис. 3а и вставка). Это свидетельствует о том, что во всех случаях кроме олигомера $\text{N}_5^{\wedge\wedge}\text{N}_5^{\wedge\wedge}\text{N}_5^{\wedge\wedge}\text{N}_5$ РНК-мишень в исследуемом интервале концентраций олигодезоксирибонуклеотидов полностью ассоциирована в комплементарном комплексе. В случае $\text{N}_5^{\wedge\wedge}\text{N}_5^{\wedge\wedge}\text{N}_5^{\wedge\wedge}\text{N}_5$, обладающего наименьшими комплексообразующими свойствами, практически полное связывание РНК-мишени может достигаться только при максимальной концентрации олигомера – 2×10^{-6} М (при 20°C)*.

Сравнение степени расщепления РНК-мишени, достигаемой за 1 ч в комплексах с олигомерами (рис. 2), позволяет сказать, что гибридные комплексы “мостиковых” 20-звенных олигонуклеотидов оказываются достаточно эффективными субстратами РНКазы Н. Следует отметить, что в данных условиях степень расщепления РНК-мишени в комплексе с нативным 20-звенным олигонуклеотидом несколько выше по сравнению с эффективностью в комплексах, образованных “мостиковыми” олигомерами. Как видно из рис. 2, в комплексах олигомеров $\text{pN}_8^{\wedge\wedge}\text{N}_4^{\wedge\wedge}\text{N}_8$ и $\text{N}_8^{\wedge\wedge}\text{N}_4^{\wedge\wedge}\text{N}_8$, в которых короткие олигонуклеотиды соединены гексаметилендиоловыми или гексаэтиленгликоловыми мостиками, степень гидролиза РНК, достигаемая за 1 ч, падает на 9–20%. Увеличение размеров мостика до диэфира гексаэтиленгликоля в комплексе $\text{rM} \cdot \text{N}_8^{\wedge\wedge\wedge}\text{N}_4^{\wedge\wedge\wedge}\text{N}_8$ приводит к дальнейшему падению степени гидролиза РНК.

* $T_{\text{пл}}$ комплекса $\text{dM} \cdot \text{N}_5^{\wedge\wedge}\text{N}_5^{\wedge\wedge}\text{N}_5^{\wedge\wedge}\text{N}_5$ при концентрации одной цепи 1.3×10^{-5} М в отсутствие MgCl_2 составляет 30°C, в условиях проведения реакции – концентрации $\text{N}_5^{\wedge\wedge}\text{N}_5^{\wedge\wedge}\text{N}_5^{\wedge\wedge}\text{N}_5$ 2×10^{-6} М в буфере, содержащем 0.01 М MgCl_2 , температура плавления должна мало отличаться от этого значения, поскольку падение температуры плавления вследствие понижения концентрации олигомера на порядок компенсируется позитивным влиянием ионов Mg^{2+} [15].

Эффективность деструкции РНК в комплексах “мостиковых” олигонуклеотидов, содержащих один и два гексаэтиленгликоловых мостика, $\text{N}_{10}^{\wedge\wedge}\text{N}_{10}$ и $\text{N}_8^{\wedge\wedge}\text{N}_4^{\wedge\wedge}\text{N}_8$, практически одинакова, несмотря на их различные гибридизационные свойства. Однако, если обращение полярности 3'-терминальной межнуклеотидной связи в олигомерах $\text{N}_{20}^{\text{inv}}$ и $\text{N}_{10}^{\wedge\wedge}\text{N}_{10}^{\text{inv}}$ практически не оказывает влияния на степень расщепления РНК в их гибридных комплексах, то в комплексе $\text{rM} \cdot \text{N}_8^{\wedge\wedge}\text{N}_4^{\wedge\wedge}\text{N}_8^{\text{inv}}$ происходит дополнительное снижение эффективности гидролиза РНК до 71%, вероятно, вследствие уменьшения размера непрерывного дуплекса. Такая же эффективность гидролиза РНК наблюдается и в комплексе с 20-звенным олигомером, в котором три ненуклеотидных мостика соединяют четыре пентамерных фрагмента. Минимальная степень деструкции РНК достигается в присутствии олигонуклеотида $\text{N}_7^{\wedge\wedge}\text{N}_4^{\wedge\wedge}\text{N}_7$ с двумя пропущенными нуклеотидными звеньями.

Уменьшение уровня расщепления РНК в комплексах “мостиковых” олигонуклеотидов не может быть обусловлено только их пониженными гибридизационными свойствами. В наименее прочном комплексе со свободными олигонуклеотидными фрагментами $\text{rM} \cdot (\text{pN}_8 + \text{pN}_4 + \text{pN}_8)$, содержащем разрывы в цепи ДНК, гидролиз РНК протекает эффективнее, чем в более стабильных комплексах, например, $\text{rM} \cdot (\text{pN}_8^{\wedge\wedge}\text{N}_4^{\wedge\wedge}\text{pN}_8)$, в которых эти фрагменты соединены ненуклеотидными мостиками (рис. 2, ср. 3 и 9). Очевидно, ненуклеотидные вставки, соединяющие разрывы в ДНК-цепи, снижают сродство гибридных комплексов “мостиковых” олигонуклеотидов к ферменту, что должно отражаться в замедлении ферментативного процесса.

Влияние ненуклеотидных вставок на скорость гидролиза РНК под действием РНКазы Н рассматривали на примере двух “мостиковых” олигонуклеотидов, содержащих две и три гексаметилендиоловые вставки, $\text{N}_8^{\wedge\wedge}\text{N}_4^{\wedge\wedge}\text{N}_8$ и $\text{N}_5^{\wedge\wedge}\text{N}_5^{\wedge\wedge}\text{N}_5^{\wedge\wedge}\text{N}_5$, в сравнении с исходным 20-звенным олигомером N_{20} и tandemом коротких олигонуклеотидов $\text{pN}_8 + \text{pN}_4 + \text{pN}_8$, не соединенных мостиками (при $\gamma = 20$ и 20°C).

Как видно из хода кинетических кривых гидролиза РНК (рис. 3б), введение в олигомер ненуклеотидных вставок приводит к заметному снижению начальной скорости реакции, причем падение скорости возрастает с увеличением числа ненуклеотидных вставок в олигонуклеотиде (кривые 3, 5). Поскольку в комплексе $\text{rM} \cdot \text{pN}_8 + \text{pN}_4 + \text{pN}_8$, содержащем два разрыва в ДНК-цепи, скорость деструкции РНК (кривая 2) практически не отличается от таковой в комплексе $\text{rM} \cdot \text{pN}_{20}$ (кривая 1), можно сказать, что ухудшение субстратных свойств “мостиковых” олигонуклеотидов в большей степени обусловлено не разры-

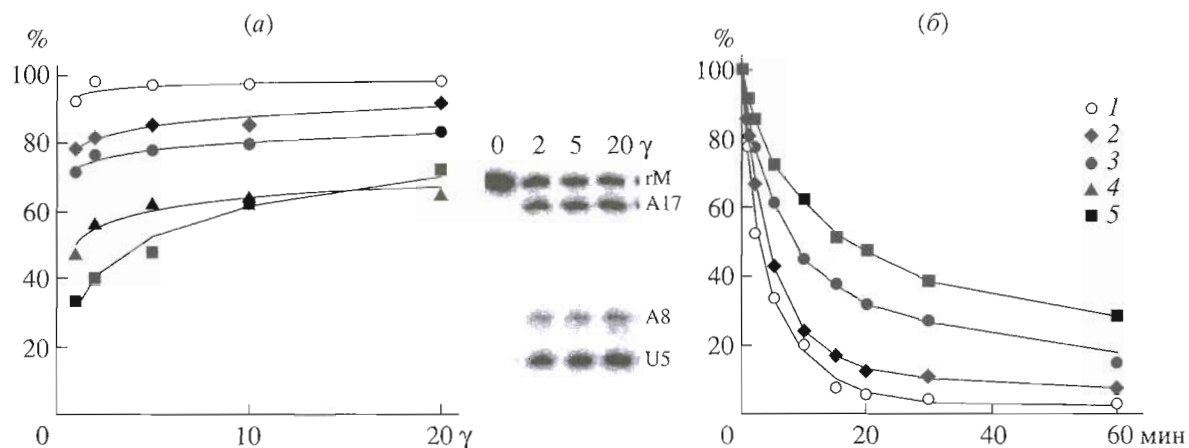


Рис. 3. Гидролиз РНК-мишени rM (10^{-7} М) РНКазой Н в гибридных комплексах с олигонуклеотидами pN₂₀ (1); pN₈ + pN₄ + pN₈ (2); N₈^{^^}N₄^{^^}N₈ (3); N₇^{^^}N₄^{^^}N₇ (4); N₅^{^^}N₅^{^^}N₅^{^^}N₅ (5). (а) – степень гидролиза rM через 60 мин реакции при различных мольных избытках олигонуклеотида (γ); вставка – электрофореграмма продуктов гидролиза РНКазой Н rM в комплексе с N₈^{^^}N₄^{^^}N₈ в отсутствие олигомера ($\gamma = 0$) и при $\gamma = 2, 5, 20$; 5'-концевые 17-, 8- и 5-звенные фрагменты РНК обозначены как A17, A8 и U5, соответственно. (б) – кинетические кривые гидролиза rM при $\gamma = 20$. Условия гидролиза см. в “Эксперимент. части”.

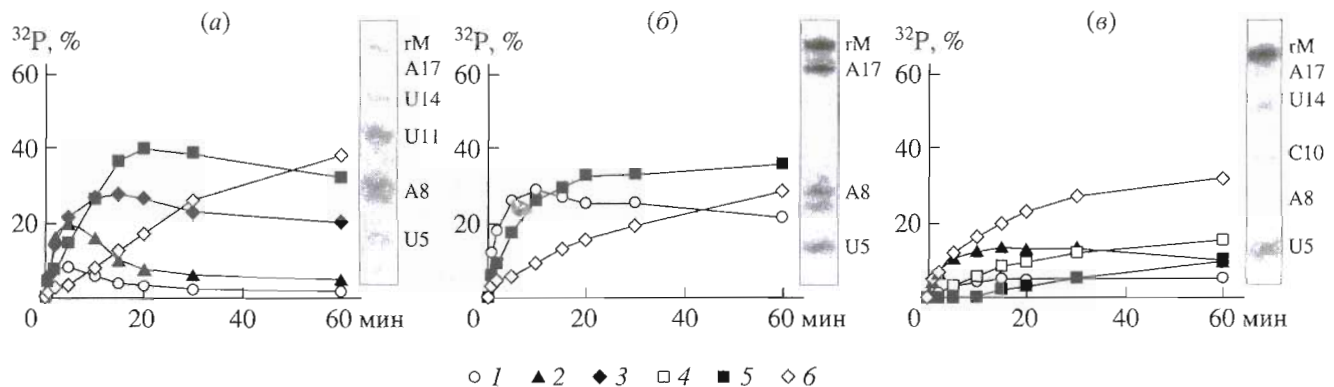
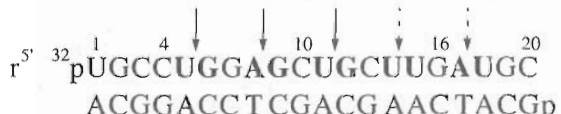


Рис. 4. Кинетические кривые накопления 5'-меченыих продуктов гидролиза rM РНКазой Н в гибридных комплексах с олигонуклеотидами pN₂₀ (а), N₈^{^^}N₄^{^^}N₈ (б) и N₅^{^^}N₅^{^^}N₅^{^^}N₅ (в) по связям – A17–U18 (1), U14–U15 (2), U11–G12 (3), C10–U11 (4), A8–G9 (5), U5–G6 (6). Вставки – электрофореграммы продуктов гидролиза rM в соответствующих комплексах через 15 мин реакции; 5'-концевые 17-, 14-, 11-, 10-, 8- и 5-звенные фрагменты РНК обозначены как A17, U14, U11, C10, A8 и U5, соответственно.

вом ДНК-цепи в гибридном комплексе, а объемными ненуклеотидными вставками, соединяющими эти разрывы.

Нарушение непрерывной структуры гибридного комплекса путем фрагментирования ДНК-цепи на короткие олигомеры, соединенные ненуклеотидными мостиками, приводит и к изменению характера гидролиза РНК под действием фермента.

При гидролизе РНК в дуплексе rM · pN₂₀:



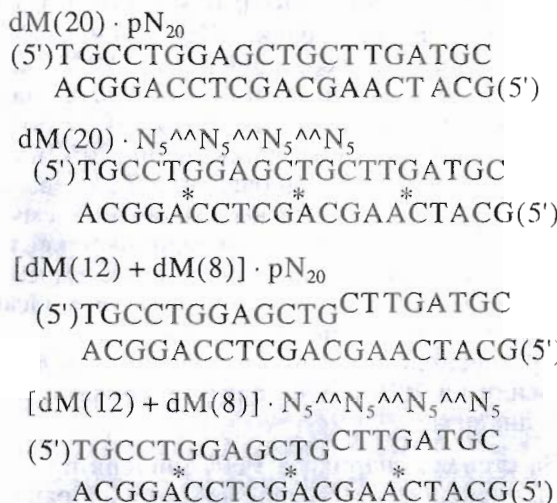
происходит последовательное укорочение РНК-мишени в направлении от 3'-к 5'-концу [1]. При этом даже в начальном периоде реакции не происходит

существенного накопления протяженных продуктов реакции, соответствующих расщеплению A17–U18- и U14–U15-связей: они расходуются с образованием более коротких олигонуклеотидных фрагментов, в том числе пентануклеотида (сайт U5–G6), содержание которого в реакционной смеси через 1 ч составляет 39% (рис. 4а).

В то же время в гибридных комплексах “мостиковых” олигомеров N₈^{^^}N₄^{^^}N₈ и N₅^{^^}N₅^{^^}N₅^{^^}N₅ на начальном участке реакции происходит практическое параллельное накопление продуктов деградации РНК (рис. 4б, в).

Это может быть следствием расщепления РНК с 3'-конца каждого дуплексного участка, сформированного олигонуклеотидным фрагментом “мостикового” олигомера, наряду с ее после-

довательным гидролизом с 3'-конца молекулы в целом. Пониженные гибридизационные свойства этих олигомеров могут приводить к тому, что ассоциация их с укороченными продуктами РНК-мишени будет протекать менее эффективно по сравнению с нативным олигомером pN₂₀. Это предположение подтверждается результатами, полученными при исследовании стабильности комплексов, моделирующих разрыв одной фосфодиэфирной связи в молекуле мишени на примере ДНК/ДНК-систем:



Олигомер pN₂₀, обладая самыми высокими гибридизационными свойствами, образует прочный комплекс не только с полноразмерной матрицей dM(20) ($T_{\text{пл}} 69^\circ\text{C}$), но и с ее короткими фрагментами: dM(12)+dM(8) ($T_{\text{пл}} 58$ и 42°C , соответственно, см. рис. 5). “Мостиковый” олигонуклеотид N₅[^]N₅[^]N₅[^]N₅, содержащий четыре пентамера, формирует комплекс с матрицей dM(20) с $T_{\text{пл}} 30^\circ\text{C}$, а с фрагментами dM(12) + dM(8) – с $T_{\text{пл}} 8^\circ\text{C}$ (кривые 2 и 4). Это означает, что, если в случае нативного олигонуклеотида возможно формирование гибридного комплекса, содержащего продукт деградации мишени по связи U11–G12, и, следовательно, дальнейшее расщепление мишени по сайтам A8–G9 и U5–G6, то, в случае олигомера N₅[^]N₅[^]N₅[^]N₅, образование комплекса даже с додекамерным остатком мишени маловероятно. Поэтому значительное накопление продукта расщепления мишени по U5–G6 (преобладающего в смеси через 60 мин инкубации) может происходить только в результате гидролиза полного комплекса rM · pN₈[^]N₄[^]N₈, т.е. параллельно с образованием более длинных продуктов гидролиза по связям A8–G9, C10–U11, U14–U15 и A17–U18 в соответствующих дуплексных участках:

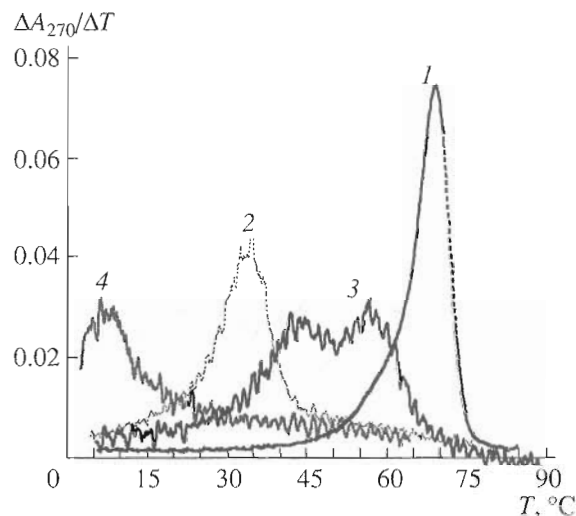
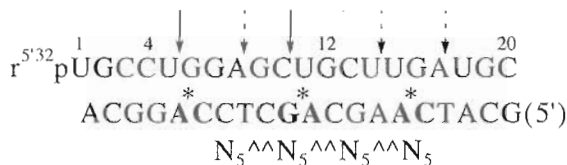
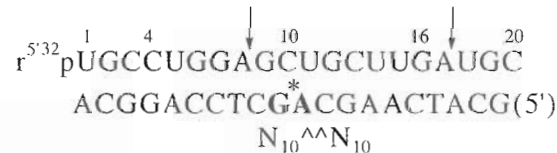
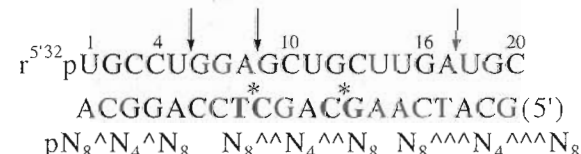


Рис. 5. Дифференциальные кривые плавления комплексов олигонуклеотидов pN₂₀ и N₅[^]N₅[^]N₅[^]N₅ с нативным (dM(20)) и фрагментированным (dM(12) + dM(8)) ДНК-аналогом rM: dM(20) · pN₂₀ (1), dM(20) · N₅[^]N₅[^]N₅[^]N₅ (2), (dM(12) + dM(8)) · pN₂₀ (3), (dM(12) + dM(8)) · N₅[^]N₅[^]N₅[^]N₅ (4). Условия плавления см. в “Эксперимент. части”.

Параллельное расщепление по двум сайтам, по-видимому, происходит и при гидролизе РНК в комплексе с олигомером N₁₀[^]N₁₀, состоящим из двух олигонуклеотидных фрагментов – через 1 ч реакции регистрируется по одному основному продукту расщепления каждого дуплексного участка A17–U18 и A8–G9:



В комплексах rM · pN₈[^]N₄[^]N₈, rM · N₈[^]N₄[^]N₈, rM · N₈[^]N₄[^]N₈ и rM · N₇[^]N₄[^]N₇ через 1 ч в реакционной смеси наблюдаются в основном продукты гидролиза РНК по связям U5–G6 и A17–U18, соответствующим октамерным дуплексным участкам, и A8–G9 – на стыке окта- и тетрамерного дуплексных участков:



Совокупность полученных результатов согла-суется с нашим предположением о том, что в ги-бридном комплексе “мостикового” олигонуклео-тида РНКаза Н может независимо узнавать каж-дый дуплексный участок.

Таким образом, “мостиковые” олигонуклео-тиды образуют с РНК гибридные комплексы, в которых РНК эффективно расщепляется под действием РНКазы Н. Эффективность и направ-ленность действия фермента в этих комплексах определяется размерами, числом и расположени-ем ненуклеотидных вставок в олигодезоксирибо-нуклеотидах.

ЭКСПЕРИМЕНТАЛЬНАЯ ЧАСТЬ

В работе использованы полинуклеотидкиназа фага T4 (СибЭнзим, Россия), рибонуклеаза Н *E. coli* (Promega, США).

Эйкозарибонуклеотид UGCCUGGAGCUGCUGAUGC (rM) синтезирован твердофазным *H*-фосфонатным методом как описано ранее [16], олигодезоксирибонуклеотиды, содержащие не-нуклеотидные вставки, синтезированы по мето-дикам [7], а содержащие “инвертированные” межнуклеотидные связи, – по аналогии с мето-диками [17].

Концентрации олигонуклеотидов определяли спектрофотометрически с использованием УФ-де-тектора жидкостного хроматографа “Милихром” (Россия). Молярные коэффициенты поглощения при длине волны 260 нм были рассчитаны по ме-тоду [18].

Термическую денатурацию олигонуклеотид-ных дуплексов исследовали в буферных растворах, содержащих 0.1 М NaCl, 0.01 М какодилат натрия (рН 7.4), 1 мМ EDTA (для ДНК/ДНК-дуплексов) и 0.05 М KCl, 0.01 М какодилат натрия (рН 7.4), 0.01 М MgCl₂ (для РНК/ДНК-дуплексов), при концентрации каждого олигонуклеотидного ком-понента 1.3×10^{-5} М. Перед плавлением буфер-ные растворы, содержащие комплементарные олигонуклеотиды в эквимолярных соотношени-ях, прогревали до 80–90°C и медленно охлаждали до 4–5°C. Оптические кривые плавления регист-рировали на специальной установке, созданной на базе спектрофотометрического УФ-детектора жидкостного хроматографа “Милихром” (Рос-сия), как описано ранее [19], при длинах волн 260, 270 и 280 нм. Скорость нагрева образцов не пре-вышала 0.7–1 град/мин. Для всех исследуемых комплексов кривые нагрева совпадали с кривыми охлаждения. В случае РНК–ДНК-гибридизации это является доказательством отсутствия дегра-дации РНК в процессе денатурации.

Введение радиоактивной метки в РНК-ми-шень rM проводили с использованием полинукле-отидкиназы фага T4 (5 ед. акт.), 0.1 мКи

[$\gamma^{32}\text{P}$]ATР в буферном растворе, содержащем 50 мМ Трис-HCl (рН 7.6), 10 мМ MgCl₂, 0.1 мМ спермидин, 0.1 мМ EDTA, 5 мМ дитиотрейт (об-щий объем 15 мкл). Меченую РНК-мишень выде-ляли после электрофореза в 20% ПААГ, элюи-руя из геля буферным раствором, содержащим 0.25 М NH₄COOH, 0.5 мМ EDTA, 0.1% додецил-сульфата натрия.

Гидролиз РНК рибонуклеазой Н *E. coli* прово-дили в буферном растворе, содержащем 20 мМ HEPES (рН 8.0), 50 мМ KCl, 10 мМ MgCl₂ и 1 мМ дитиотрейт. Концентрация РНК-мишени rM во всех экспериментах составляла 1×10^{-7} М, олиго-дезоксирибонуклеотидов и “мостиковых” олиго-нуклеотидов – от 1×10^{-7} до 2×10^{-6} М. Реакцион-ные смеси (10 мкл) инкубировали при 20°C в тече-ние 15 мин, затем добавляли 0.15 ед. акт. рибонуклеазы Н. Через необходимое время до-бавляли 1 мкл раствора полиуридиловой кислоты (0.1 мг/мл) и осаждали реакционные смеси 2% раствором перхлората лития в ацетоне. Осадок растворяли в 8 М мочевине, содержащей красите-ли бромфеноловый синий и ксиленцианол FF, и наносили на 20% ПААГ для электрофоретичес-кого анализа.

За степень гидролиза РНК-мишени принима-ли процентное отношение суммарной радиоак-тивности в пятнах, соответствующих продуктам расщепления мишени, к суммарной радиоактив-ности в дорожке геля.

Работа выполнена при частичной поддержке грантами INTAS-93-828-ext, Государственной на-учечно-технической программы “Новейшие мето-ды биоинженерии” (подпрограммы “Ген-направ-ленные и биологически активные вещества” и “Геном человека”), межвузовской научно-техни-ческой программы “Биотехнология” и при инди-видуальной поддержке Пышного Д.В. грантом Программы научных проектов молодых ученых СО РАН.

СПИСОК ЛИТЕРАТУРЫ

1. Воробьев П.Е., Зарытова В.Ф. // Биоорган. химия. 2000. Т. 26. С. 728–734.
2. Cook P.D. // Antisense Research and Applications / Eds S.T. Crooke, B. Lebleu. Boca Raton; Ann Arbor; Lon-don; Tokyo: CRC Press, 1993. Р. 169–176.
3. Durand M., Peloille S., Thuong N.T., Maurizot J.C. // Biochemistry. 1992. V. 31. P. 9197–9204.
4. Cload S.T., Schepartz A.J. // J. Am. Chem. Soc. 1991. V. 113. P. 6324–6326.
5. Kandimalla E.R., Agrawal S. // Gene. 1994. V. 149. P. 115–121.
6. Ma M.Y.-X., Reid L.S., Climie S.C., Lin W.C., Kuper-man R., Sumner-Smith M., Barnett R.W. // Biochemistry. 1993. V. 32. P. 1751–1758.

7. Pyshnaya I.A., Pyshnyi D.V., Ivanova E.M., Zarytova V.F., Bonora G.M., Scalfi Happ C., Seliger H. // Nucleosides Nucleotides. 1998. V. 17. P. 1289–1297.
8. Wei Z., Tung C.-H., Zhu T., Stein S. // Bioconjugate Chem. 1994. V. 5. P. 468–474.
9. Wei Z., Tung C.-H., Zhu T., Dickerhof W.A., Breslauer K.J., Georgopoulos D.E., Leibowitz M.J., Stein S. // Nucl. Acids Res. 1996. V. 24. P. 655–661.
10. Horne D.A., Dervan P.B. // J. Amer. Chem. Soc. 1990. V. 112. P. 2435–2437.
11. Федорова О.А., Гомтих М.Б., Романова Е.А., Орецкая Т.С., Долинная М.Г., Шабарова З.А. // Молекуляр. биология. 1995. Т. 29. С. 1161–1167.
12. Salunkhe M., Wu T., Letsinger R.L. // J. Am. Chem. Soc. 1992. V. 114. P. 8768–8772.
13. Lewis F.D., Wu T., Burch E.L., Bassani D.N., Yang J.-S., Schneider S., Jager W., Letsinger R.L. // J. Am. Chem. Soc. 1995. V. 117. P. 8785–8792.
14. Pyshnyi D.V., Pyshnaya I.A., Lohkov S.G., Podyminogin M.A., Ivanova E.M., Zarytova V.F. // Pure Appl. Chem. 1996. V. 68. P. 1321–1328.
15. Williams A.P., Longfellow C.E., Freier S.M., Kierzek R., Turner D.H. // Biochemistry. 1989. V. 28. P. 4283–4291.
16. Веняминова А.Г., Горн В.В., Зенкова М.А., Комарова Н.И., Репкова М.Н. // Биоорган. химия. 1990. Т. 16. С. 941–950.
17. Flavio J., Ortigao R., Rösch H., Selter H., Fröhlich A., Lorenz A., Montenarh M., Seliger H. // Antisense Res. Dev. 1992. V. 2. P. 129–146.
18. Handbook of Biochemistry and Molecular Biology: Nucleic Acids / Ed. G.D. Fasman. Cleveland: CRC Press, 1975. V. 1. P. 589.
19. Пышный Д.В., Лохов С.Г., Сильников В.Н., Шишкин Г.В., Иванова Е.М., Зарытова В.Ф. // Биоорган. химия. 1999. Т. 25. С. 40–56.

Cleavage of RNA in Hybrid Duplexes by the *E. coli* Ribonuclease H: II. Substrate Properties of Oligonucleotides Containing Nonnucleotide Linkers

P. E. Vorobjev*,# I. A. Pyshnaya*, D. V. Pyshnyi*, M. N. Repkova*,
 A. G. Venyaminova*, M. A. Zenkova*, E. M. Ivanova*, C. Scalfi-Happ**,
 H. Seliger**, G. Bonora***, and V. F. Zarytova*

*Novosibirsk Institute of Bioorganic Chemistry, Siberian Division, Russian Academy of Sciences,
 pr. Akademika Lavrent'eva 8, Novosibirsk, 630090 Russia

**Section of Polymers, University of Ulm, D-89069 Ulm, Germany

***Department of Chemical Sciences, University of Trieste, I-42127 Trieste, Italy

The 20-mer bridged oligodeoxynucleotides containing short oligomers joined by the hexamethylenediol and hexaethylene glycol linkers were shown to form complementary DNA/DNA and RNA/DNA complexes whose thermostability depends on the length and number of the nonnucleotide linkers. Hybrid complexes of the bridged oligonucleotides proved to be substrates for the *E. coli* ribonuclease H. The presence of one–three nonnucleotide linkers in a 20-mer decreased the hydrolysis efficacy only 1.2–1.4-fold. It is the composition of the RNA cleavage products that was influenced the most significantly by the nonnucleotide linkers. RNase H simultaneously hydrolyzed the RNA 3'-ends of each hybrid duplex involving a bridged oligonucleotide. The presence of an inverted 3'-3'-phosphodiester bond at the 3'-end of the oligodeoxyribonucleotide only slightly affected the RNase H activity.

Key words: antisense oligonucleotides, bridged oligonucleotides, nonnucleotide insert, ribonuclease H, phosphodiester bond inversion, thermostability of complementary complexes

To whom correspondence should be addressed; phone: +7 (3832) 39-6275; e-mail: vorobjev@niboch.nsc.ru.

For the full text of English translation of this article, see *Russian Journal of Bioorganic Chemistry*, 2000, vol. 26, no. 11. It is also available (free) in PDF format through the Web Site <http://www.maik.rssi.ru/>.